

九州大学工学部 正員 乗谷陽一  
 九州大学工学部 学生員 桑田哲也  
 九州大学工学部 学生員 ○江副章介  
 九州大学工学部 学生員 中司泰雄

### 1. まえがき

水処理のフロックプランケット方法におけるように、上向流中にフロックが高濃度で存在する場合に、フロックの沈降に伴ない、乱れの場が生ずる。この乱れの場におけるフロックは、フロック間の衝突による結合で成長するのみならず、他方では分離を起しながら次第に平衡状態となる。フロックの補給のない乱れの場においては、分離現象が強く働き、したがってフロックは破壊されて、プランケットは減少していく。このフロック破壊の機構を調べる事を目的とした。この機構を調べるために、種々の方法があるが、第一段階として、乱れの場の動的条件のもとで、

- 1) フロックの劣化現象
- 2) 上向流中のフロックの再結合係数、破壊係数
- 3) 水量負荷変動によるフロックの破壊量の変化

の三つを取り上げて調べてみた。

### 2. 簡単化した破壊理論

フロックプランケット内に鉛直上向に  $\alpha$  軸をとり、原点をアランケット底面にとる。フロックアランケットを形成するフロックは、多くのフロック群（主要な成分をなし、濃度は  $C$ ）と、破壊した若干のフロック（濃度は  $c$ ）とから成りたっていると考える。フロック群は、上昇流速と沈降速度で、平衡を保つが、破壊フロックは沈降速度がきわめて小さいので、上昇流速によって流し出される。このとき  $c \ll C$  であるとすると、破壊したフロックが、フロック群に吸収されて、その一部となる割合は、

$$d\text{を const.} \text{として, } \alpha CC$$

破壊を起すフロックの割合は、

$$\beta \text{を const.} \text{として, } \beta C$$

この時の  $\alpha$  を再結合係数、 $\beta$  を破壊係数と名付ける。

したがって、 $U$  を上昇流速とし、定常状態を考えると、

$$\frac{dc}{dt} = U \frac{dc}{dx} = -\alpha CC + \beta C. \quad (1)$$

$x=0$  で  $C=0$  とすれば、(1)式は、

$$C = \frac{\beta}{\alpha} (1 - e^{-\frac{\alpha C}{U} x}). \quad (2)$$

フロックアランケットの高さを  $H$  とすると、

$$\frac{dH}{dt} = -\frac{U}{C} C \Big|_{x=H} = -\frac{\beta}{\alpha} \frac{U}{C} (1 - e^{-\frac{\alpha C}{U} H}) \quad (3)$$

ここで、 $H \rightarrow \infty$  とすると、 $\frac{dH}{dt} \rightarrow -\frac{\beta U}{\alpha C}$  となる。

したがって、 $H \rightarrow 0$  での、アランケットの減少速度の  $H$  に対する微係数は、

$$\frac{d}{dt} \left( \frac{dH}{dt} \right)_{H=0} = -\beta \quad (4)$$

(4)の微係数を持ち、原点を通る直線と、(3)の漸近線との交点のX座標を、フロックの破壊量の変化。 $\frac{d}{dt} \left( \frac{dH}{dt} \right)$  が、急変するという意味で、限界高さと名付ける。限界高さ  $H_c$  は、

$$H_c = \frac{U}{\alpha C} \quad (5)$$

フロックフランケットの濃度はCで近似できるので、(3), (4)からひき算すればより、(5)から求めまる。

破壊したフロックはアランケット界面から、上澄水の方へ上昇していく。このフロックは上昇中、互いに衝突合体し成長する。このフロックがあら粒径にまで達すると、上昇流速より沈降速度が大きくなり、逆に沈降し始める。したがって破壊フロックの上方への輸送量が、捕集器とアランケット界面との距離によって変化する。よってフロック破壊量を求めるため、界面直上に捕集器を設けた場合、両者の距離によって、破壊量に見かけ上差を生ずることになるので、両者の距離には特に注意を払わなければならない。

### 3. 実験装置と方法

高さ4m、内径58.2mmのアクリル耐酸管を用い、その管の下端に、管内の上昇流速が一様になるため、G1のグラスフィルターを設置した。ヘッドタンクを通った水は、流量計とニードルバルブを通過後、このグラスフィルターを通して管内を上昇し、破壊されたフロックを採取するために設置された捕集器の出口にとりつけられたゴム管を通してオーバーフロウする。なお破壊フロックはアランケット界面直上の上澄水中に置かれた捕集器によって常に捕集され、アランケット中を上昇してきた水と共にオーバーフロウする。この管の上端から下端まで、スライド可能な、光源とフォトトランジスタを持った台をとりつけ、フロックアランケットのレベルが電気的に測定可能なように1cm間隔に接点をとりつけた柱を管に平行に設けた。フォトトランジスタは、光源の、フロックからの反射光のみを受光するようになっている。したがって、フォトトランジスタからの電流とフロック濃度とは比例するものと考えられる。フォトトランジスタからの電流はD.C.アンプに入り増幅されてペンオシロに入って記録される。これによってフロックアランケットの界面移動を測定することができる。使用フロックは学内水道水に指宿小谷産カオリין 5.0g/l を混和した原水に、硫酸マンガンを注入後、水平攪拌式ジャーティスターにて300 rpmで10分間、60 rpmで20分間攪拌し、5分間静置後、上澄液をすべて得たものである。フロック破壊に伴ない、アランケット界面の高さが減少し、上向流に対する抵抗が減少する。これによる流量変動を修正するため、U字管をもつ流量計のU字管部に自動制御装置をとりつけた。この装置は光源とフォトトランジスタをそなえており、U字管に沿って上下可能である。したがって所要の流量表示する水銀柱のメニスカスの位置に、この装置の光軸を一致させておけば、流量の変動が生じた時、つまり水銀柱が上下運動をした際、フォトトランジスタへの入射光量が変化する。この入射光量が変化すると、ニードルバルブを開閉するモータが駆動する。したがって、入射光量がもとの状態にもどる。だから流量は常に一定に保たれていることになる。なおフロック濃

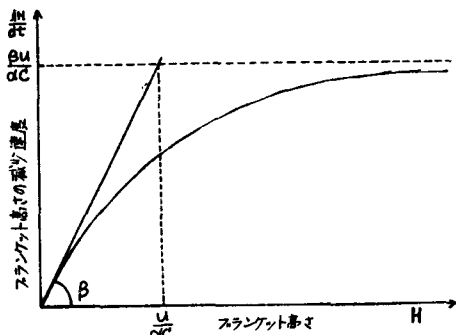


図-1

度は、(単位面積当たりのフロック質量)/(フランケット高さ) で求めた。フロック質量は実験中に、30分間隔にとった、破壊フロックを含んだオーバーフロウした水、及び実験終了後、管内に残ったフロック懸濁水を乾燥させて測ったものである。又、フランケット内へ上向流速の測定は、フランケットが定常状態にある場合に行なった。電気伝導度を測定するため、管側壁に 25 cm 間隔に電極を取りつけた。なお測定時には、管下端のトレー サー注入孔から飽和食塩水を約 4 C.C. 瞬間に注入した。この注入時を記録し、一番高い位置の電極による電導度がもとに復するまでチャートを取った。フランケット内の真の上昇流速を求めるため、このチャートの面積の 2 等分点を出し、電極間を食塩水の全量の 1/2 が流れれるのに要し長時間を求めて、電極間隔 25 cm から流速を求めた。

#### 4. 実験結果、考察

4-1 フロックの劣化現象 管内のフロックを上向流中で長時間にわたって破壊すると、図-2, 3 のように、実験開始後 18 時間たつと、フランケット境界面の高さの減少速度が増加し、30 時間後に最大値をとった。後はフランケット境界面の高さの減少のため次第に減少し続ける。フロック濃度は、最初は、

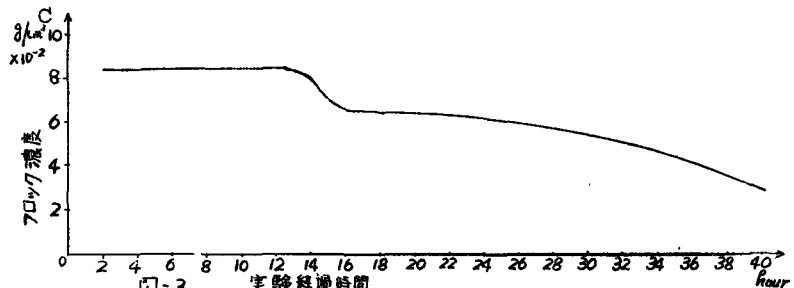
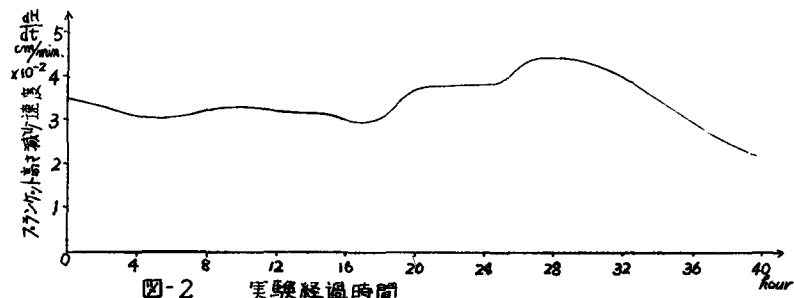
0.08 g/cm<sup>3</sup> であるが、  
14 時間後に急に減

少し始め 0.06 g/cm<sup>3</sup>  
の濃度となり、10

時間程ほぼ一定であ  
るが、実験開始後約  
28 時間経過すると

再び減少し始め、次  
第に減少の一途をた  
どった。この两者に  
は時間的に 4 時間程  
のずれが生じている。  
このフロック性質の

変化は何が原因であ



るかは、解明していないが、フロックが劣化現象を起していると考えられる。したがってこの種のフロック実験は、フロックが最初の性質を維持している間に行なうのがよいと考えられる。

4-2 上向流中のフロックの再結合係数、破壊係数 フロックフランケット境界面の高さの変動によるフロックの破壊速度の変化は、図-4 に示す。前述の理論より、 $(\frac{dH}{dt})_{H \rightarrow \infty} = -\frac{\beta U}{\alpha C}$  ,

$\frac{d}{dH}(\frac{dH}{dt})_{H \rightarrow 0} = -\beta$  ,  $\beta_C = \frac{U}{\alpha C}$  はすべて図-4 より求まる。曲線は H が 60 cm 以上になると、ほぼ漸近線に近づき、減少速度は一定となる。ある流量の実験に対して各々一個の再結合係数  $\alpha$  と、破壊係数  $\beta$  とが求まるので、流量を変えてこの  $\alpha$ 、 $\beta$  を数多く求めれば、流速と再結合係数  $\alpha$ 、あるいは破壊係数  $\beta$  の関係が明らかにされる。表-1 より、各実験に使用するフロックの性質には、かなり大きな差があるが、一般的に、流速を低下させると、再結合係数  $\alpha$ 、破壊係数  $\beta$  の両者は共に減少す

る。しかしその減少率をとてみると、破壊係数は再結合係数より流速の影響が

大きく差けるといふ。

事ができる。なお限界高さも、流速の低下に伴ない、若干の減少を示す。

4-3 水量負荷変動によるフロッパック破壊量の変化  
これは、図-5に示す。この図より、流速とフランケット界面の高さの減少速度は、図に示す流速内では、直線的に変化している。図より、流速が約0.095 cm/secの所では破壊が起らなくなることになるが、他実験から約0.057 cm/secの流速で、フロッパック破壊がほとんど無視しきる程度になるので、流速減少と共に破壊量が急激に減少すると考えられる。

#### 5. まとめ

最後に、流量を数多く変え、多くの再結合係数ひと破壊係数Bを得る事によって、これらの間の関係を明らかにしたいと考えている。

この研究に対して、昭和42年農文省の科学研究費の支給を受けた。

番号	バンドPPM	PPM	2610PPM	粘土%	TDS	水温°C	pH	流速U cm/sec	70.7度 破壊量 C/g/cm	破壊量 B/sec	再結合 系数 ひ	再結合 系数 B	限界高さ cm
1	10	1	5	74.0	11.1	7.09	0.213	0.0436	0.00033	0.0050	0.3224	15.15	
2	10	2	5	57.5	10.6	6.28	0.182	0.0677	0.00014	0.0020	0.1882	14.28	

表-1 係数ひ、B、漸近線、限界高さ

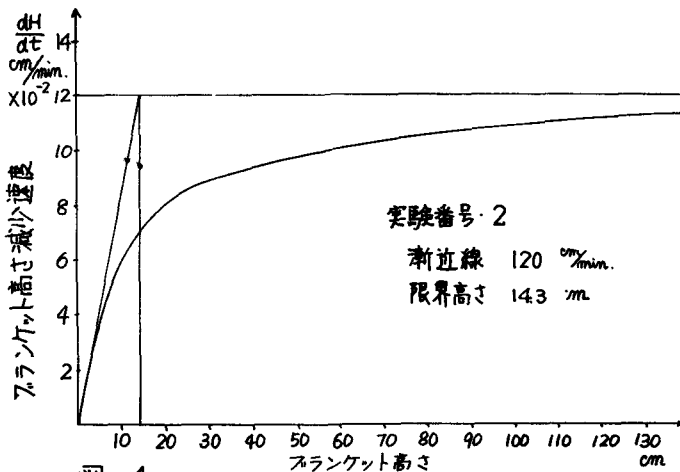


図-4

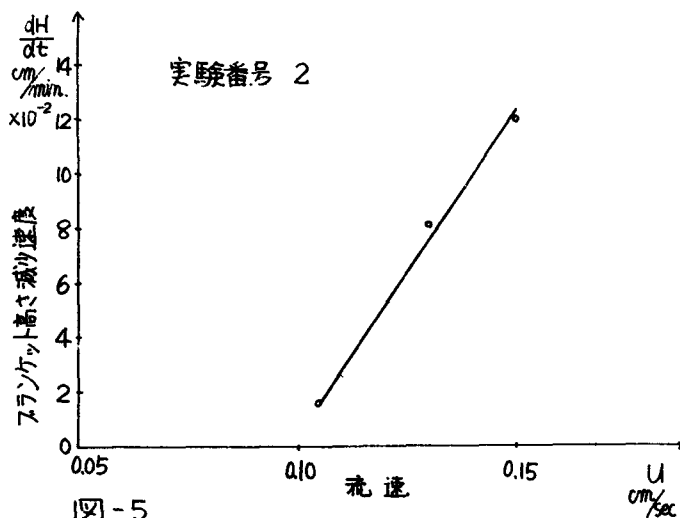


図-5